



# БИООРГАНИЧЕСКАЯ ХИМИЯ

том 7 \* № 3 \* 1981

УДК 547.455.623'233.1+543.51

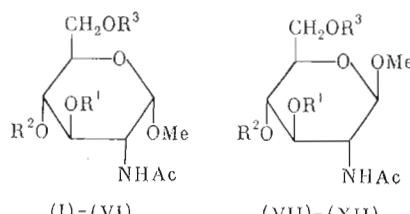
## МАСС-СПЕКТРЫ ХИМИЧЕСКОЙ ИОНИЗАЦИИ МЕТИЛОВЫХ ЭФИРОВ 2-АЦЕТАМИДО-2-ДЕЗОКСИ-*D*-ГЛЮКОПИРАНОЗИДОВ

Каденцев В. И., Каймаразов А. Г., Чижов О. С.,  
Деревицкая В. А., Евстигнеев А. Ю., Ботников М. Я.

Институт органической химии им. Н. Д. Зелинского  
Академии наук СССР, Москва

Измерены масс-спектры электронного удара и химической ионизации (газы-реагенты — метан и изобутан) и исследованы пути фрагментации частично метилированных  $\alpha$ - и  $\beta$ -метил-2-ацетамидо-2-дезокси-*D*-глюкопиранозидов. Показана возможность успешного применения масс-спектрометрии с химической ионизацией для установления структуры и стереохимии производных 2-ацетамидосахаров.

Масс-спектрометрический метод широко применяется для исследования различных производных углеводов [1, 2]. Особенно полезным он оказался для идентификации частично метилированных моносахаридов, которые предварительно превращают в соответствующие ацетаты полиолов и затем подвергают хроматомасс-спектрометрическому анализу [3]. Однако получение такого рода производных из метиловых эфиров аминосахаров связано с рядом методических трудностей. В связи с этим в настоящей работе изучены масс-спектры метиловых эфиров метил-2-ацетамидо-2-дезокси- $\alpha$ ( $\beta$ )-*D*-глюкопиранозидов (I)–(XII) с целью дальнейшего использования полученных данных для анализа метиловых эфиров аминосахаров в виде легкодоступных метилгликозидов.



- (I), (VII)  $R^1=H$ ,  $R^2=R^3=Me$   
(II), (VIII)  $R^2=H$ ,  $R^1=R^3=Me$   
(III), (IX)  $R^3=H$ ,  $R^1=R^2=Me$   
(IV), (X)  $R^1=R^2=H$ ,  $R^3=Me$   
(V), (XI)  $R^1=R^3=H$ ,  $R^2=Me$   
(VI), (XII)  $R^2=R^3=H$ ,  $R^1=Me$

Масс-спектры электронного удара изученных соединений приведены в табл. 1.

Полученные нами данные, как и следовало ожидать, качественно совпадают с масс-спектрами электронного удара соответствующих метиловых

Таблица 1

## Масс-спектры электронного удара соединений (I) – (VI)

Соединение	Положение МеO-группы	<i>m/z</i> (относительная интенсивность, %)
(I)	4,6	71(100), 43(38), 45(49), 73(42), 59(34), 102(32), 101(28), 128(28)
(II)	3,6	43(100), 73(85), 45(67), 75(42), 115(41), 58(34), 69(31); 57(30)
(III)	3,4	73(100), 43(62), 115(59), 75(37), 45(35), 88(27), 128(24), 58(24)
(IV)	6	43(100), 59(94), 45(56), 101(41), 60(28), 73(25), 114(25), 57(22)
(V)	4	59(100), 71(57), 128(56), 43(54), 73(33), 88(32), 101(32), 60(31)
(VI)	3	43(100), 73(75), 75(53), 86(41), 115(41), 59(36), 45(32), 114(29)

Таблица 2

## Масс-спектры химической ионизации (газ-реагент – метан) соединений (I) – (VI)

Тип иона	<i>m/z</i>	Относительная интенсивность, %			<i>m/z</i>	Относительная интенсивность, %		
		(I)	(II)	(III)		(IV)	(V)	(VI)
[M + C <sub>3</sub> H <sub>6</sub> ] +	304	3	3	3	290	2,6	1	—
[M + C <sub>2</sub> H <sub>5</sub> ] +	292	5	8	8,5	278	8	—	6
[M + H] +	264	25	31	53	250	37	46	49
[M – H] +	262	14	5	7	248	4	10	3
[M + C <sub>2</sub> H <sub>5</sub> –MeOH] +	260	10	11	11	246	8,5	9	17
[M + H–H <sub>2</sub> O] +	246	1	3	3	232	10	3	7
[M + H–MeOH] +	232	91	100	100	218	100	100	100
[M + H–2H <sub>2</sub> O] +	214	100	2,5	3	200	55	14	16
[M + H–2MeOH] +	200	4	62	19	186	3	4	22
[M + H–MeOH–2H <sub>2</sub> O] +	182	7	2	2	182	3	2	—
[M + H–2MeOH–H <sub>2</sub> O] +	168	—	1	66	168	3	76	12
[M + H–3MeOH] +	140	5	3	2,5	140	2	—	—
[M + H–MeOH–2H <sub>2</sub> O–CH <sub>2</sub> CO] +	128	8	—	17	128	1	27	—
[M + H–2MeOH–H <sub>2</sub> O–CH <sub>2</sub> CO] +	126	2	12	2	—	—	—	—
[MeO–CH=CH–NHAc] <sup>+</sup> *	115	—	10	24	115	—	4	10
[MeOCH <sub>2</sub> CH=CHOMe] <sup>+</sup> *	102	11	—	—	—	—	—	—
[HO–CH=CH–NHAc] <sup>+</sup> *	101	9	—	3	101	5	9	—
[HOCH <sub>2</sub> CH=CHOMe] <sup>+</sup> *	88	—	—	8	88	—	—	—
[MeO–CH=OMe] <sup>+</sup>	75	—	13	22	75	—	—	14
[MeO–CH=CH–NH <sub>2</sub> ] +*	73	—	9	18	73	—	—	14
[CH <sub>2</sub> =CH–CH=OMe] <sup>+</sup>	71	22	—	—	71	—	13	—
[HO–CH=CH–NH <sub>2</sub> ] +*	59	10	—	—	59	5	15	—

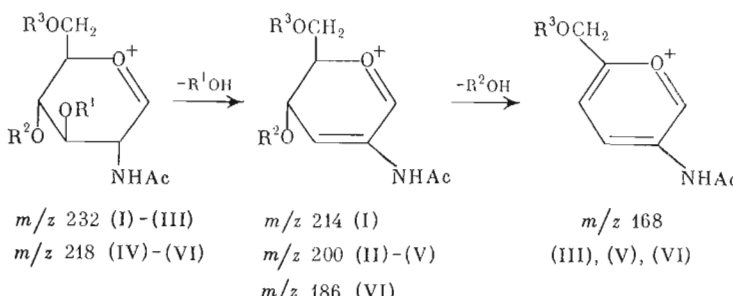
эфиров метил-2-ацетамидо-2-дезокси- $\alpha$ -D-галактопиранозида [4]. Как видно из табл. 1, наиболее интенсивные пики расположены в области низких масс и принадлежат ионам, содержащим один, два и три углеродных атома пиранозного кольца с их заместителями. Для масс-спектров соединений (II), (III), (VI), содержащих при 3-С метоксильную группу, характерно присутствие интенсивных пиков при *m/z* 75, 115 и 73. Замена МеO-группы в этом положении на гидроксилную ведет к исчезновению пика при *m/z* 75, уменьшению интенсивности пиков при *m/z* 115 и 73 и увеличению пиков при *m/z* 101 и 59. Интенсивный пик с *m/z* 128 характерен для масс-спектров соединений (I), (III), (V), несущих МеO-группу при 4-С. Однако этот последний признак недостаточно надежен, так как в масс-спектрах соединений (II), (IV), (VI) также имеются пики при *m/z* 128,

хотя и менее интенсивные. Отсутствие пиков  $M^+$ -ионов и низкая интенсивность пиков тяжелых фрагментов, наличие характеристических фрагментных ионов лишь в области низких масс, использование которых всегда осложнено присутствием пиков примесей, делают масс-спектрометрию электронного удара недостаточно удобным аналитическим инструментом для идентификации метиловых эфиров метилгликозидов гексозаминов.

В связи с этим нами изучены масс-спектры соединений (I) – (VI) с применением химической ионизации (ХИМ-спектры, газ-реагент – метан). Результаты представлены в табл. 2.

В отличие от масс-спектров электронного удара ХИМ-спектры соединений (I) – (VI) содержат всего по 3–4 интенсивных пика в области высоких масс. Протонированные молекулярные ионы имеют достаточно высокую интенсивность: порядка 20–50% с  $m/z$  264 (для соединений (I) – (III)) и 250 (для соединений (IV) – (VI)). Наиболее интенсивные пики принадлежат гликозильным ионам  $[M+H-MeOH]^+$  (кроме соединения (I)). Они располагаются при  $m/z$  232 (соединения (I) – (III)) и  $m/z$  218 (соединения (IV) – (VI)). Положение пиков  $[M+H]^+$ - и  $[M+H-MeOH]^+$ -ионов в ХИМ-спектре позволяет определить число метоксильных групп в молекуле.

Главным направлением дальнейшего распада гликозильного иона является последовательное отщепление заместителей от 3-С и 4-С в виде  $R^1OH$  и  $R^2OH$ . Аналогичный характер фрагментации наблюдается в ХИМ-спектрах метиловых эфиров метилгексопиранозидов [5]. Интересно, что отщепление  $R^2OH$  происходит в заметной степени только в том случае, если при 6-С имеется свободный гидроксил (соединения (III), (V), (VI)). Отщепление метанола от 4-С (соединения (III), (V)) идет легче, чем отщепление воды (соединение (VI)).



Таким образом, изомерные диметиловые эфиры легко отличить друг от друга по наличию интенсивных пиков при  $m/z$  214, 200 и 168 соответственно для соединений (I) – (III), а изомерные монометиловые эфиры – по пикам при  $m/z$  200, 168 и 186 для производных (IV) – (VI).

Наряду с описанным выше главным направлением распада  $[M+H]^+$ -иона осуществляются и другие процессы его фрагментации. Так, кроме отщепления метанола от 1-С наблюдается отщепление  $R^1OH$ ,  $R^2OH$  и  $R^3OH$ : пики  $[M+H-H_2O]^+$  при  $m/z$  246 (соединения (I) – (III)) и 232 (соединения (IV) – (VI)). Гликозильный ион способен терять заместитель при 4-С; таким путем образуется, например, ион с  $m/z$  200 в ХИМ-спектре соединения (VI):

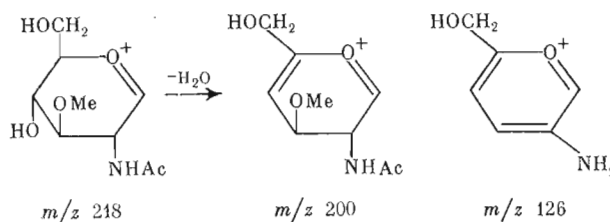


Таблица 3

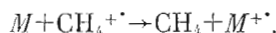
Времена удерживания ( $\tau$ , мин) и ХИМ-спектры (газ-реагент – метан) компонентов смеси (I)+(II)+(IV) и (III)+(V)+(VI) и индивидуальных соединений (I)–(VI)\*

Тип иона	$m/z$	Относительная интенсивность, %					
		(I) $\tau$ 11,35	(II) $\tau$ 12,20	(V) $\tau$ 13,40	(III) $\tau$ 11,39	(VI) $\tau$ 13,49	(IV) $\tau$ 12,30
[M+C <sub>3</sub> H <sub>5</sub> ] <sup>+</sup>	304	3(2)	3(2)	—	(2)	—	—
	290	—	—	2(2)	—	2(3)	1(1)
[M+C <sub>2</sub> H <sub>5</sub> ] <sup>+</sup>	292	4(4)	5(2)	—	(2)	—	—
	278	—	—	2(2)	—	2(1)	3(1)
[M+H] <sup>+</sup>	264	17(14)	12(8)	—	11(12)	—	—
	250	—	—	13(17)	—	9(8)	12(10)
[M-H] <sup>+</sup>	262	12(9)	8(3)	—	3(3)	—	—
	248	—	—	6(6)	—	3(3)	3(2)
[M+C <sub>2</sub> H <sub>5</sub> -MeOH] <sup>+</sup>	260	9(6)	13(8)	—	7(7)	—	—
	246	—	—	6(5)	—	11(8)	8(6)
[M+H-MeOH] <sup>+</sup>	232	70(68)	89(65)	—	47(52)	—	—
	218	—	—	57(73)	—	100(100)	100(97)
[M+H-MeOH-H <sub>2</sub> O] <sup>+</sup>	214	100(100)	—	—	2(2)	—	—
	200	—	—	2(12)	—	12(5)	95(100)
[M+H-2MeOH] <sup>+</sup>	200	4(2)	100(100)	—	16(21)	—	—
	186	—	—	2(2)	—	76(65)	—
[M+H-MeOH-2H <sub>2</sub> O] <sup>+</sup>	182	—	—	3(2)	—	2(—)	11(7)
[M+H-2MeOH-H <sub>2</sub> O] <sup>+</sup>	182	19(15)	18(8)	—	3(3)	—	—
	168	—	—	100(100)	—	45(31)	—
[M+H-3MeOH] <sup>+</sup>	168	3(—)	—	—	100(100)	—	—

\* Данные представлены в скобках.

Отщепление R<sup>1</sup>OH и R<sup>2</sup>OH от гликозильного иона может протекать не только последовательно, но и как одностадийный процесс. Так, в ХИМ-спектре соединения (III) имеется метастабильный пик при  $m/z$  121,6, соответствующий переходу 232→168. Ион с  $m/z$  168 может элиминировать молекулу кетена с образованием фрагмента с  $m/z$  126, который в случае соединения (VI) имеет довольно значительную интенсивность.

Помимо этих основных пиков в ХИМ-спектрах наблюдаются пики кластер-ионов, возникающих при ассоциации молекул субстрата с вторичными ионами газа-реагента C<sub>3</sub>H<sub>5</sub><sup>+</sup> и C<sub>2</sub>H<sub>5</sub><sup>+</sup>, и пики ионов, образование которых связано с процессами перезарядки:



Получающиеся этим путем  $M^+$ -ионы распадаются аналогично тому, как это происходит при ионизации по методу электронного удара (ср. табл. 1 и 2). Из этой части спектра можно извлечь дополнительную информацию.

Описанные выше закономерности были использованы для хроматомасс-спектрометрического анализа смесей соединений (I)–(VI). Результаты приведены в табл. 3. Для сравнения в табл. 3 представлены также ХИМ-спектры индивидуальных соединений (I)–(VI) (газ-реагент – метан), измеренные в тех же условиях (в скобках).

Капиллярная стеклянная колонка, покрытая слабополярной жидкой фазой OV-1, оказалась недостаточно эффективной для полного разделения изомерных, частично метилированных метилгликозидов аминосахаров. Вследствие этого в ХИМ-спектрах некоторых анализируемых соединений присутствуют пики, характерные для ХИМ-спектров остальных компонентов. Однако наличие пики, характерных только для одного из анализируемых соединений, позволяет рассчитать вклад примеси и получить путем вычитания исправленный спектр, хорошо совпадающий со спектром индивидуального соединения.

Таким образом, хроматомасс-спектрометрия с химической ионизацией дает вполне удовлетворительные результаты при анализе смеси соединений (I) – (VI).

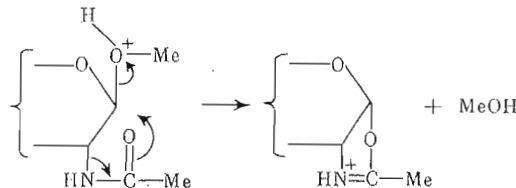
Сравнение ХИМ-спектров  $\alpha$ - и  $\beta$ -аномеров частично метилированных метил-2-ацетамидо-2-дезокси-D-глюкопиранозидов при использовании в качестве газа-реагента изобутана позволило проследить влияние стереоизомерии при 1-C на характер их распада (табл. 4).

Хорошо известно, что  $[M+H]^+$ -ионы, образующиеся при ионизации молекул субстрата  $C_6H_9^+$ -ионами, обладают меньшим запасом избыточной внутренней энергии по сравнению с  $[M+H]^+$ -ионами, образующимися в газовой плазме метана, а следовательно, и меньшей склонностью к фрагментации. Поэтому в качественно совпадающих спектрах  $\alpha$ - и  $\beta$ -аномеров главным образом присутствуют наиболее интенсивные пики, соответствующие  $[M+H]^+$ -ионам (кроме производного (VII)) при  $m/z$  264 (производные (I) – (III), (VII) – (IX)) и 250 (производные (IV) – (VI), (X) – (XII)) и пики, соответствующие гликозильным  $[M+H-MeOH]^+$ -ионам при  $m/z$  232 (соединения (I) – (III), (VII) – (IX)) и 218 (соединения (IV) – (VI), (X) – (XII)).

Как видно из табл. 4, для всех пар стереоизомеров интенсивность  $[M+H]^+$ -ионов  $\alpha$ -аномера выше интенсивности  $[M+H]^+$ -ионов  $\beta$ -аномера.

Факт большей стабильности  $\alpha$ -аномеров (аксиальный гликозильный метоксил) по сравнению с  $\beta$ -аномерами (экваториальный гликозильный метоксил) в условиях химической ионизации установлен ранее также для анионных метил-2,3,4,6-тетра-O-метил-D-галактопиранозидов [5].

Сопоставление величин  $\left(\frac{J_{[M+H-MeOH]^{+}}}{J_{[M+H]^{+}}}\right)_{\beta-} / \left(\frac{J_{[M+H-MeOH]^{+}}}{J_{[M+H]^{+}}}\right)_{\alpha-}$  для соединений (I) – (XII) (от 1,6 до 6,2),  $\alpha$ - и  $\beta$ -метил-2,3,4,6-тетра-O-метил-D-галактопиранозидов (4,1) [5] и  $\alpha$ - и  $\beta$ -метил-2,3,4-три-O-метил-L-арabinопиранозидов (1,9) [6] показывает, что ускорение распада  $\beta$ -аномеров по сравнению с  $\alpha$ -аномерами 2-дезокси-2-ацетамидосахаров в среднем больше, чем для нейтральных пираноз. Это может объясняться участием N-ацетильной группы в отщеплении  $\beta$ -MeO-группы:



Наблюдаемые различия в отношениях интенсивностей  $[M+H-MeOH]^{+}$  и  $[M+H]^+$ -ионов для  $\alpha$ - (I) – (VI) и  $\beta$ - (VII) – (XII) аниомеров достаточны для того, чтобы определять конфигурацию при 1-C путем сравнения их ХИМ-спектров.

### Экспериментальная часть

Масс-спектры электронного удара соединений (I) – (VI) измеряли на масс-спектрометре CH-6 «Varian MAT» (США) при энергии ионизирующих электронов 70 эВ.

ХИМ-спектры соединений (I) – (XII) снимали на масс-спектрометре MX-1303, модифицированном для исследований по химической ионизации [7], с прямым вводом образца в источник. В качестве газа-реагента использовали метан при давлении 0,5–0,8 торр и изобутан при давлении 0,3 торр. Энергия ионизирующих электронов составляла 400 эВ. Температура камеры ионизации: 403К в опытах с метаном и 383К в опытах с изобутаном. Температура системы напуска: 363К для метана и 358К для изобутана.

Таблица 4

Масс-спектры химической ионизации (газ-реагент — изобутан) соединений (I) — (XII)

Тип иона	$m/z$	Относительная интенсивность, %						Относительная интенсивность, %					
		(I)	(VII)	(III)	(VIII)	(IX)	$m/z$	(IV)	(X)	(V)	(XI)	(VI)	(XII)
$[M + C_2H_5]^+$	320	1	—	1	2	6	306	1	1	5	7	5	5
$[M + C_2H_5]^+$	306	2	—	2	1	5	292	1	1	3	3	6	4
$[M + C_2H_5 - MeOH]^+$	288	3	2	2	1	7	274	—	2	1	6	2	11
$[M + C_2H_5 - MeOH]^+$	274	3	2	1	3	2	260	—	—	—	2	2	2
$[M + CH_3]^+$	264	100	65	100	100	100	250	100	100	100	100	100	100
$[M + H - H_2O]^+$	246	8	3	7	5	4	232	4	2	1	7	4	4
$[M + H - H_2O]^+$	232	25	100	18	39	18	218	5	19	6	36	15	22
$[M + H - MeOH]^+$	214	4,5	3	—	—	—	200	4	2	—	—	—	—
$[M + H - MeOH - H_2O]^+$	200	3	9	2	4	7	186	—	—	—	—	—	5
$\frac{J(M+H)^+}{\Sigma J}$	67	35	76	64	78	47	92	78	88	62	74	65	65
$J(M+H)^+$	0,25	1,5	0,2	0,4	0,2	0,8	0,05	0,2	0,1	0,4	0,45	0,2	0,2

Анализ соединений (I)–(VI) и их смесей (I+II+IV) и (III+V+VI) проводили с помощью квадрупольного хроматомасс-спектрометра «Riber 1010», снабженного капиллярной стеклянной колонкой (длина 25 м, внутренний диаметр 0,25 мм, жидкую фазу — OV-1, 190° С, газ-носитель — гелий, 1 мл/с). Эффективность колонки — 60 000 теоретических тарелок (по C<sub>14</sub>H<sub>30</sub>). Ввод пробы в хроматограф осуществлялся через инжектор Росса при температуре испарителя 350° С.

Масс-спектры химической ионизации соединений (I)–(VI) (газ-реагент — метан) получены при энергии ионизирующих электронов 100 эВ, токе эмиссии 200 мА. Температура камеры ионизации 473 К.

Образцы соединений (I)–(XII) хроматографически однородны, согласно данным ТСХ и ГЖХ.

#### ЛИТЕРАТУРА

1. Чижов О. С., Отт А. Я. (1978) Успехи биол. химии, 19, 151—183.
2. Lönngrén J., Svenson S. (1974) Adv. Carbohyd. Chem. and Biochem., 29, 42—106.
3. Björndal H., Hellerquist C. G., Lindberg B., Svenson S. (1970) Angew. Chem., 82, 643—652.
4. Heyns K., Kiessling G., Müller D. (1967) Carbohydr. Res., 4, 452—464.
5. Kadentsev V. I., Solov'yov A. A., Chizhov O. S. (1978) Adv. in Mass Spectrom., 7, 1465—1473.
6. Каденцев В. И., Каймаразов А. Г., Чижов О. С. (1980) Изв. АН СССР. Сер. хим., 330—334.
7. Соловьев А. А., Каденцев В. И., Чижов О. С., Белькинд Д. И., Савельев А. Г. (1976) Приборы и техн. эксп., 223—226.

Поступила в редакцию  
26.VI.1980

#### CHEMICAL IONIZATION MASS SPECTRA OF 2-ACETAMIDO-2-DEOXY-D-GLUCOPYRANOSIDE METHYL ETHERS

KADENTSEV V. I., KAYMARAZOV A. G., CHIZHOV O. S.,  
DEREVITSKAYA V. A., EVSTIGNEEV A. Yu., BOTNIKOV M. Ya.

N. D. Zelinsky Institute of Organic Chemistry, Academy of Sciences  
of the USSR, Moscow

The electron impact and chemical ionization (CI) mass spectra (with methane and isobutane as gases-reagents) were obtained and fragmentation patterns examined for partially methylated  $\alpha$ - and  $\beta$ -methyl-2-acetamido-2-deoxy-D-glucopyranosides. The possibility of the successful employment of CI mass spectrometry for elucidation of the structure and configuration of deoxyacetamidosugars was demonstrated.